

**Proceeding Series of the Brazilian Society of Computational and Applied Mathematics**

---

**Um estudo da dinâmica interna para um problema com Rigidez Não Linear**Célia Aparecida dos Reis<sup>1</sup>,

Faculdade de Ciências, Departamento de Matemática, Unesp, Bauru, SP

Luis Antonio S. Vasconcelos<sup>2</sup>

Faculdade de Ciências, Departamento de Matemática, Unesp, Bauru, SP

Luttgardes de Oliveira Neto<sup>3</sup>

Faculdade de Engenharia, Departamento de E. Civil e Ambiental, Unesp, Bauru, SP

**Resumo.** A equação de Duffing nas suas várias formas pode ser utilizada para descrever diversos sistemas não lineares. Embora a maioria dos sistemas físicos não possa ser descrita com precisão desta forma, para uma ampla gama de condições operacionais tais como a frequência e amplitude de excitação, em muitos casos, é possível a utilização desta equação como uma descrição aproximada, de modo que seu comportamento possa ser estudado qualitativamente. Neste trabalho considera-se a análise das deflexões grandes de uma viga com rigidez não linear, cujo modelo matemático pode ser descrito por uma equação de Duffing. A linearização exata no espaço de estados é o método proposto para análise desta dinâmica não linear. Apresenta-se a análise da dinâmica interna e da estabilidade assintótica local em complementação a trabalhos publicados no ano de 2014, levando-se em conta os pontos críticos não nulos deste sistema não linear. Finalmente, exemplos numéricos são apresentados. Palavras-chave. Equação de Duffing, Deflexão de vigas, Linearização entrada-saída, Estabilidade assintótica, Dinâmica zero.

**1 Introdução**

Os projetos de grandes estruturas que envolvem dados de difícil definição têm utilizado cada vez mais o recurso de monitoração durante a sua construção para tomadas de decisões. Nesses momentos, as comparações entre resultados da monitoração com os obtidos de modelos matemáticos têm permitido a continuidade na execução dessas obras com maior controle e qualidade [1]. A análise estrutural desempenha um papel importante no desenvolvimento do projeto de tais estruturas e modelos matemáticos cada vez mais sofisticados propiciam análises inimagináveis até alguns anos atrás, fornecendo subsídios para análises paramétricas e permitindo simulações de etapas construtivas com o nível de detalhamento desejado pelos projetistas [3].

Como exemplos de problemas de vibrações não lineares podem ser citados as vibrações de vigas, de cabos, de um pêndulo, de alguns isoladores, de circuitos elétricos,

---

<sup>1</sup> [celia@fc.unesp.br](mailto:celia@fc.unesp.br)

<sup>2</sup> [toninho@fc.unesp.br](mailto:toninho@fc.unesp.br)

<sup>3</sup> [lutt@feb.unesp.br](mailto:lutt@feb.unesp.br)

cujos modelos matemáticos são muitas vezes descritos por equações do tipo da Equação de Duffing [4 - 5].

Como o movimento do primeiro modo de vibração de uma viga bi-apoiada nas extremidades, com rigidez não linear e de comprimento  $l$ , pode ser modelado matematicamente por uma equação de Duffing, a metodologia abordada nestas notas será a linearização entrada-saída, aplicada nas vibrações grandes de uma viga bi-apoiada, com rigidez não linear.

O objetivo é decompor a dinâmica do sistema não linear da viga bi-apoiada na chamada *forma normal*, isto é, em uma parte externa linear (entrada-saída) e uma parte interna não linear e não observável. Para tal, define-se um novo conjunto de estados, definidos a partir da saída e suas derivadas. Desta forma, prova-se a existência de um difeomorfismo, o qual transforma o sistema não linear em outro linear de menor grau, relacionando a entrada e a saída, e em uma parte que pode ser tanto linear quanto não linear, que representa os estados não observáveis e que fornece a *dinâmica interna* do sistema original ([8], [9]).

O conhecimento da dinâmica interna é importante, pois, a partir de seu equacionamento, torna-se possível a análise da *dinâmica zero*, a qual pode ser utilizada para análise de estabilidade assintótica da dinâmica não linear em malha fechada; assim avalia-se se a linearização por realimentação pode ser usada (qualquer sistema em malha fechada tem que ser estável) ([7], [16]).

Neste trabalho apresenta-se a análise da dinâmica interna e da estabilidade assintótica do modelo matemático da viga bi-apoiada, além da utilização da linearização entrada-saída para encontrar uma lei de controle não linear que possibilita o controle das vibrações, em complementação aos resultados obtidos em [17], [18] e [19]. Finalmente, exemplos numéricos são apresentados.

Este trabalho encontra-se organizado da seguinte forma: na seção 2 apresenta-se a linearização entrada-saída para a viga bi-apoiada. Na seção 3 apresenta-se o estudo da dinâmica zero e da estabilidade assintótica local e simulações e na seção 4 as conclusões e sugestões de trabalhos futuros.

## 2 O Modelo Matemático Utilizado e a Linearização Entrada-Saída

Considere o oscilador de Duffing com uma força externa e um termo cúbico, dado por:

$$\ddot{x} + 2\xi\dot{x} + \alpha x + \gamma x^3 = F \cos \Omega t \quad (1)$$

sendo que  $x$ ,  $\xi$ ,  $\alpha$ ,  $\gamma$ ,  $f$ ,  $\Omega$  são respectivamente o deslocamento, o fator de amortecimento, parâmetro de rigidez, parâmetro de rigidez não linear, amplitude de excitação e frequência de excitação, conforme [10], [12].

Em (1), quando  $\xi = 0$  e  $\alpha = 1$  esta equação descreve o movimento do primeiro modo de vibração de uma viga bi-apoiada nas extremidades, de comprimento  $l$ , como na Figura 1, considerando o suporte do lado esquerdo fixo e o da direita livre para deslizar com o objetivo de evitar alongamento no plano da viga quando esta vibrar ([10]).

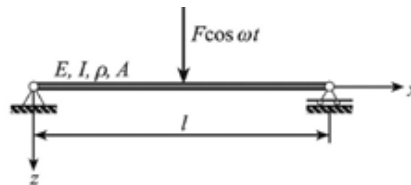


Figura 1: Vibrações de uma viga com elasticidade não linear.

De acordo com [10], uma equação que representa o movimento do primeiro modo de vibração da viga, em termos de  $L$  é dada por:

$$m\ddot{q} + k_1 q - k_3 q^3 = F \cos \omega t \tag{2}$$

sendo:

$$m = \frac{\rho A l}{2} \quad k_1 = \frac{EI\pi^4}{(2L^3)} \quad k_3 = \frac{-3\pi^6 EI}{(16L^5)} \tag{2-a}$$

A função amplitude de deslocamento tem a forma:

$$\frac{L}{l} = \frac{1}{2} \left( 1 + \left( 1 - \left( \frac{q\pi}{2l} \right)^2 \right)^{\frac{1}{2}} \right) \tag{3}$$

Após a substituição de (3) em (2) seguido do desprezo de potências de  $q$  maiores do que três, o termo cúbico da equação (2) é positivo, e daí a viga apresenta rigidez para grandes deflexões.

Conforme [10], a equação (2) pode ser escrita como:

$$\ddot{\tilde{y}} + \tilde{y} + \gamma \tilde{y}^3 = \tilde{F} \cos \Omega \tilde{t} \tag{4}$$

sendo  $\tilde{y} = \frac{q}{l}$ ,  $\tilde{t} = w_n t$ ,  $\Omega = \frac{\omega}{w_n}$ ,  $w_n = \sqrt{\frac{k_1}{m}}$ ,  $\tilde{F} = \frac{F}{k_1 l}$ ,  $\gamma = \frac{l^2 k_3}{k_1}$ .

A equação (4) pode ser escrita na forma:

$$\begin{aligned} \dot{x} &= f(x) + g(x)\tilde{u}(t) \\ y &= h(x) \end{aligned} \tag{5}$$

sendo:

$$f(x) = \begin{bmatrix} x_2 \\ -x_1 - \gamma x_1^3 \end{bmatrix}, \quad g(x) = \begin{bmatrix} 0 \\ 1 \end{bmatrix}, \quad \tilde{u}(\tilde{t}) = \tilde{F} \cos \Omega \tilde{t} \quad \text{e} \quad y(x) = ax_1 + bx_2, \quad b \neq 0. \tag{5-a}$$

Prova-se que o grau relativo do sistema (5) é  $r = 1$ , sendo possível a análise da dinâmica interna e da dinâmica zero do sistema (5) ([7], [16], [17], [19]). Para tal, torna-se necessário a construção de um difeomorfismo  $\phi(x) = [\mu, \psi]$  sendo  $y = h(x) = ax_1 + bx_2$  e  $\psi$  uma solução do conjunto de equações diferenciais parciais (ou EDP)  $\nabla \psi \cdot g(x) = 0$  ou  $\frac{\partial \psi(x)}{\partial x_2} = 0$ , de acordo com [7] e [16].

Conforme [19] a função  $\phi(x)$  é dada por:

$$\phi = [ax_1 + bx_2, \psi] \tag{6}$$

sendo  $\psi$  a solução da EDP  $\frac{\partial \psi(x)}{\partial x_2} = 0$ , como em (7):

$$\psi(x) = cx_1. \tag{7}$$

Prova-se que  $\phi(x)$  em (6) é um difeomorfismo global, sendo o vetor de estados  $(x_1, x_2)$ :

$$x_1 = \frac{1}{c}\psi \quad \text{e} \quad x_2 = \frac{1}{b}\mu - \frac{a}{bc}\psi. \tag{8}$$

Além disso,  $\phi(x)$  tem inversa:

$$\phi^{-1}(\mu, \psi) = \left( \frac{1}{c}\psi, \frac{1}{b}\mu - \frac{a}{bc}\psi \right). \quad (8-a)$$

A partir do conjunto de estados definidos em (8) o sistema (5) tem a *forma normal* ([7], [16], [17], [19]):

$$\dot{\mu} = \left( \frac{a}{b} \right) \mu - \frac{1}{c} \left( \frac{a^2}{b} + b \right) \psi - \frac{\gamma b}{c^3} \psi^3 + b\tilde{u}(\tilde{t}) \quad (9)$$

$$\begin{aligned} \dot{\psi} &= \frac{c}{b} \mu - \frac{a}{b} \psi \\ \tilde{y} &= \mu \end{aligned} \quad (9-a)$$

A dinâmica não linear dada por (9) relaciona entrada e saída, correspondendo à parte externa do sistema, enquanto que a dinâmica (9-a) corresponde a parte interna da dinâmica, não dependente da entrada  $u(t)$ . Portanto, o sistema (9-a) corresponde à parte não observável e não controlável do sistema. De acordo com [17] e [19], a lei de controle não linear de equação (10) transforma a parte externa do sistema não linear (9) – (9-a), em uma dinâmica linear:

$$\tilde{u}(\tilde{t}) = \frac{1}{b} \left\{ \left( -\frac{a}{b} \right) \mu + \frac{1}{c} \left( \frac{a^2}{b} + b \right) \psi + \frac{\gamma b}{c^3} \psi^3 + v \right\}. \quad (10)$$

### 3 A análise da Dinâmica Zero do Sistema e da Estabilidade Assintótica

De (5), e como  $\alpha = 1 \neq 0$ , tem-se que a dinâmica não linear tem três pontos críticos, a saber:

$$P_1 = (0,0), \quad P_2 = \left( \sqrt{\frac{-1}{\gamma}}, 0 \right) \quad \text{e} \quad P_3 = \left( -\sqrt{\frac{-1}{\gamma}}, 0 \right) \quad (11)$$

se  $\gamma < 0$  e existe um único ponto crítico, a saber,  $(0, 0)$ , se  $\gamma > 0$ .

De (5) ou (9) – (9-a), tem-se a matriz da contraparte linear possui dois autovalores distintos e imaginários puros. Isso significa que  $(0,0)$  é um centro estável para a contra-parte linear da dinâmica (5) ou (9) – (9-a). Desta forma, considerando-se a dinâmica não linear (5) ou (9) – (9-a), esse ponto crítico pode ser um centro ou um ponto em espiral, assintoticamente estável, ou estável, mas não assintoticamente estável ou instável. Desta forma, não é possível estabelecer uma conclusão a respeito da estabilidade assintótica do ponto crítico  $(0,0)$  e nem de sua natureza.

Em [17] e [19] verificou-se, pela análise da dinâmica zero, a estabilidade assintótica da dinâmica não linear em torno da origem. Neste trabalho, a análise será efetuada em torno do ponto  $P_2$ . Considerando este ponto e a mudança de variáveis dada por:

$$\mu_1 = \mu - \sqrt{\frac{-1}{\gamma}} \quad \text{e} \quad \psi_1 = \psi, \quad (12)$$

prova-se que a dinâmica zero, dada quando  $y(t) = 0$  para todo  $t > 0$ , pode ser escrita na forma:

$$\dot{\psi}_1 = -\frac{a}{b} \psi, \quad y = 0 \quad (13)$$

cuja resposta no tempo é dada pela expressão  $\psi_1(\tilde{t}) = e^{\left(-\frac{a}{b}\right)\tilde{t}}$ .

Assim, a dinâmica zero (13) é assintoticamente estável quando  $a, b < 0$  ou  $a, b > 0$ , em torno do ponto, coincidindo com os resultados obtidos em torno do ponto  $P_1$  ([16], [19]). De fato, considerando-se o controle não linear:

$$\tilde{u}(t) = \left(\frac{-a-k_o}{b}\right)\mu_1 + \left(-\frac{l}{c}\right)\psi_1 + \left(-\frac{\gamma}{c^3}\right)\psi_1^3 + \sqrt{-\frac{l}{\gamma}}\left(\frac{a-k_o}{b}\right) \quad (14)$$

para  $v = -k_o y = -k_o a x_1 - k_o b x_2$ , e  $k_o$  escolhido de forma conveniente tal que  $p(\lambda) = \lambda + k_o$  tenha raízes negativas ([16]), torna a malha fechada da dinâmica (5) assintoticamente estável em torno do ponto  $P_2$ .

Observa-se que a análise é análoga para o ponto  $P_3$  e também a vantagem da linearização entrada-saída para o estudo da estabilidade assintótica da dinâmica não linear. Pelo método direto de Lyapunov não é possível efetuar a análise da estabilidade em torno de  $P_2$ . Mediante o uso da estabilidade assintótica da dinâmica zero foi possível determinar a estabilidade assintótica da dinâmica não linear não só em torno da origem como dos outros dois pontos.

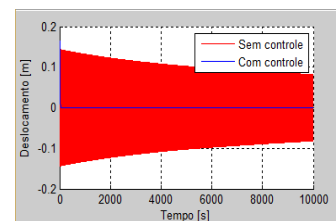
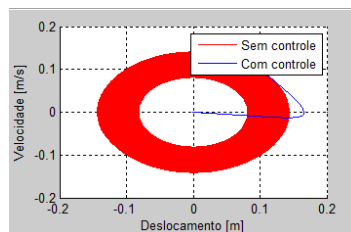
A Figura 2 mostra o efeito na resposta do sistema não linear (5), da lei de controle (14) de acordo com os valores dos parâmetros adotados na Tabela 1.

Tabela 1. Valores de parâmetros

Parâmetro	$\alpha$	$\Omega$	$\gamma$	$F$	$a$	$b$	$c$	$ko$	$L$	$L$	$I$
Caso 1	1	0,5	5	0,3	0,1	1	1	1	400	400	4616
Caso 2	1	0,5	5	0,3	1	0,1	1	1	400	400	4616
Caso 3	1	0,5	5	0,3	1	1	0,1	1	400	400	4616

Considerando um exemplo prático com dimensões realistas de uma viga metálica, pode-se avaliar o comportamento da viga em função dos dados de controle. Para uma resposta dinâmica inicial, avalia-se a influência dos parâmetros  $a, b$  e  $c$  no problema. Assim os dados de três situações estão dispostos na Tabela 1, mantendo constante o perfil metálico, e com o peso distribuído apenas o seu peso próprio.

Considera-se um intervalo de tempo de 0 a 10.000 s, na Figura 2, para que se perceba o comportamento assintoticamente estável do sistema, já que a rigidez nesse caso é grande e o sistema não apresenta amortecimento. Verifica-se na Figura 2, o quanto é eficiente o controle dado por (14), já que este leva a resposta para a origem em um tempo muito pequeno. As informações relativas ao Módulo de Young do aço, peso específico e força encontram-se em [19]. O comprimento  $l$  da viga está mensurado em *cm*.



(a) Caso 1:  $a = 0,1, b = 1$  e  $c = 1$

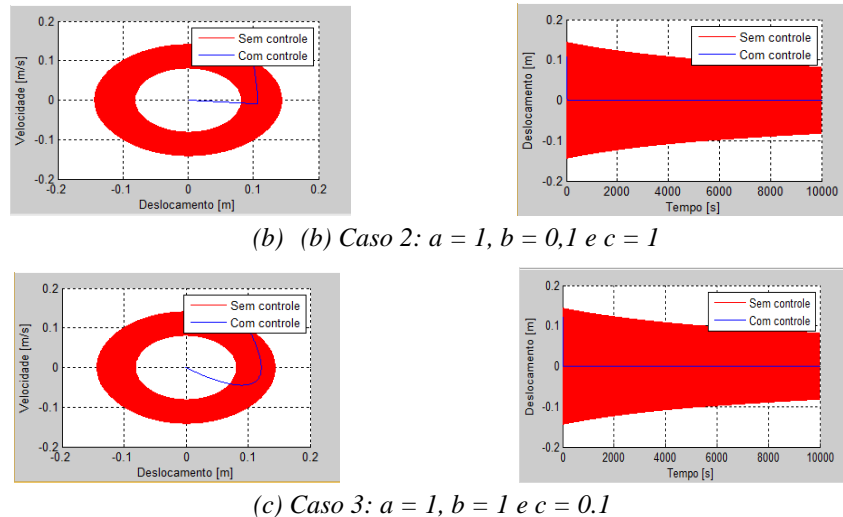


Figura 2 - Retrato de fase e histórico do deslocamento no tempo para  $u(t) = F \cos \Omega t$ .

## 4 Conclusões

Neste trabalho considerou-se a análise das deflexões grandes de uma viga com rigidez não linear, cujo modelo matemático utilizado é descrito por uma equação de Duffing. Mediante a análise da dinâmica interna do sistema, provou-se que a dinâmica não linear é assintoticamente estável não só em torno da origem, mas também em torno dos pontos fora da origem.

Introduziu-se um controle não linear (linearização por realimentação) que possibilitou a estabilização deste sistema em um intervalo de tempo bastante pequeno (realimentação de estados externa).

Simulações foram efetuadas, com e sem o controle via linearização por realimentação, onde foram feitas variações da frequência de oscilações e levando-se em conta a análise da esbelteza da viga.

Para trabalhos futuros, deseja-se analisar a primeira deflexão da viga para uma carga constante, além de uma análise das vibrações resultantes dessa carga, após um intervalo de tempo. Além disso, deseja-se efetuar uma análise global do sistema, com e sem controle, com variações dos demais parâmetros, além de avaliar a ação de uma carga, para uma viga esbelta, a ponto de levar a mesma a uma ruptura.

## 5 Referências

- [1] R.D. Copetti, D. Migotto, D. R. Tolfo, Sobre a Resposta Dinâmica de uma Viga com Amortecimento, Mecânica Computacional, Vol. XXIX, págs.4247-4254,Argentina, 2010.
- [2] N. Fiedler-Ferrara, C. P.C. Prado, *Caos – Uma introdução*, Edgar Blucher, S.P., 2009
- [3] P. B. Fusco, “Estruturas de Concreto”, Editora Guanabara, 1991.
- [4] J. Ginsberg, “Mechanical and Structural Vibrations”, John Wiley, 2002.
- [5] D. Gorman, “Free Vibration Analysis of Beams and Shafts”, John Wiley, 1975.

- [6] M. Gürgöze, H. Erol, “Dynamic response of a viscously damped cantilever with a viscous end condition”, *Journal of Sound and Vibration*, 298:132-153, 2006.
- [7] A. Isidori, *Nonlinear Control Systems*, 3ed., Springer-Verlag, Roma, 1995.
- [8] M. K. Jain, S. R. K. Iyengar, R. K. Jain, “Numerical Methods for Scientific and Engineering Computation”, Ed. John Wiley & Sons, 1985.
- [9] S. G. Kelly, “Advanced Vibration Analysis”, John Wiley, 1st edition, 2006.
- [10] I. Kovacic, M. J. Brennan- *The Duffing Equation Nonlinear Oscillators and Their Behavior*, Wiley & Sons, 2011.
- [11] S. Naguleswaran, “Vibration of an Euler-Bernoulli beam on elastic end supports and with up to three step changes in cross-section”, *International Journal of Mechanical Sciences*, 44:2541–2555, 2002.
- [12] S. S. Raos, *Mechanical Vibrations*, Pearson Prentice Hall, New Jersey, 2004.
- [13] C. A. Reis *et al.*, Asymptotic Stabilization and Internal Dynamics of a Simplified Model of a Maglev System, 22nd International Congress of Mechanical Engineering (COBEM), November 3-7, Ribeirão Preto, SP, Brazil, 2013.
- [14] C. A. Reis *et al.*, The Input-State Linearization Of A Maglev Vehicle Type, 22nd International Congress of Mechanical Engineering (COBEM), Ribeirão Preto-SP, Brazil, 2013.
- [15] Reis, C. A. ; Colón, D. ; Balthazar, J. M. ; Rosa, S. R. F. ; Rocha, R. T. (2014). O Comportamento de Sistemas Mecatrônicos usando Ferramentas da Dinâmica Zero. In: Airam Sausen; Paulo Sausen; Sandro Sawicki.. (Org.). *Coleção Modelagem Matemática Aplicada à Resolução de Problemas nas Engenharias*: 1ed. Ijuí: Editora Unijuí da Univ. Regional do Noroeste do Estado do Rio Grande do Sul, 2014, v.3, p.169-194.
- [16] C. A. Reis, J. M. Balthazar; D. Colón; S. R. F. Rosa; R. T. Rocha; B. R. Pontes Junior - Análise das Vibrações Forçadas de um Oscilador de Duffing via Linearização Exata. In: VIII Congresso Nacional de Engenharia Mecânica (CONEM 2014), 2014, Uberlândia.
- [17] G. V. M. Silva, *Controlo Não Linear*, Escola Superior de Tecnologia Setúbal, Lisboa, 2003.
- [18] J. Slotine and W. LI, *Applied Nonlinear Control*. New Jersey: Prentice Hall, 1991.
- [19] L.A.S Vasconcellos, C. A. Reis, L.O Neto, “Análise das Deflexões Grandes de uma Viga Com Rigidez Não Linear Utilizando a Linearização Exata a Realimentação, Anais do XXXV Congresso Nacional de Matemática Aplicada e Computacional, Natal, RN, Brasil, 2014.